

УДК 538.915:544.225.23

**ЭКСПЕРИМЕНТАЛЬНОЕ И ТЕОРЕТИЧЕСКОЕ ИССЛЕДОВАНИЕ  
ЭЛЕКТРОННО-ЭНЕРГЕТИЧЕСКОЙ СТРУКТУРЫ  
ФОСФОРСОДЕРЖАЩИХ СУЛЬФИДОВ InPS<sub>4</sub>, Tl<sub>3</sub>PS<sub>4</sub> И Sn<sub>2</sub>P<sub>2</sub>S<sub>6</sub>**

**А.А. Лаврентьев<sup>1</sup>, Б.В. Габрельян<sup>1</sup>, В.Т. Ву<sup>1</sup>, И.Я. Никифоров<sup>1</sup>,  
В.С. Никифорова<sup>1</sup>, О.Ю. Хижун<sup>2</sup>**

<sup>1</sup>Донской государственный технический университет, Ростов-на-Дону, Россия

E-mail: alavrentyev@dstu.edu.ru

<sup>2</sup>Институт проблем материаловедения, государственной Академии наук Украины, Киев, Украина

Статья поступила 18 ноября 2016 г.

С доработки — 18 января 2017 г.

Проведено исследование электронно-энергетической структуры трех фосфорсодержащих сульфидов с использованием экспериментальных рентгеновских  $K$ - и  $L_{2,3}$ -спектров эмиссии,  $K$ -спектров поглощения серы и фосфора, рентгеноэлектронных спектров (XPS), а также квантово-механических расчетов на основе теории функционала плотности (DFT). Полнопотенциальные и полноэлектронные квантово-механические расчеты выполнены с использованием базиса LAPW+lo, реализованного в программном пакете WIEN2k [1]. В расчетах использовались различные обменно-корреляционные потенциалы: PBE, PBE+U и mBJ [2]. В Tl<sub>3</sub>PS<sub>4</sub> учитывалось спин-орбитальное взаимодействие  $5d_{3/2}$ - и  $5d_{5/2}$ -электронных состояний Tl. Установлены все особенности электронно-энергетической структуры исследуемых соединений в валентной полосе и полосе проводимости около уровня Ферми. Получены значения ширины запрещенных полос  $E_g$ , хорошо согласующиеся с литературными экспериментальными данными.

DOI: 10.15372/JSC20170621

**Ключевые слова:** сульфиды, рентгеновские спектры, электронно-энергетическая структура, теория функционала плотности, обменно-корреляционные потенциалы.

**ВВЕДЕНИЕ**

Успешное использование в технике сложных по составу и кристаллической структуре соединений в значительной степени зависит от их всестороннего исследования различными физическими и химическими методами как экспериментально, так и теоретически. По этой причине изучение электронной структуры с рассмотрением взаимодействия электронных состояний соседних Р и S с последующими выводами по характеру химической связи в исследуемых соединениях представляется важным для построения моделей, которые могли бы быть полезны для объяснения их макроскопических физических и термохимических свойств.

Кристаллическая структура исследуемого в работе тиофосфата индия InPS<sub>4</sub> (тип соединения  $A^{III}B^VC_4^{VI}$ ) принадлежит к структурному типу "дважды дефектного" халькопирита с пространственной группой  $I\bar{4}-S_2^4$  [1, 2] и параметрами решетки  $a = b = 5,623 \text{ \AA}$ ,  $c = 9,058 \text{ \AA}$  [2]. Такая структура получается из структуры халькопирита за счет возникновения упорядоченных вакансий катионов, двух в структуре дефектного халькопирита и четырех в структуре дважды дефектного халькопирита. Элементарная ячейка InPS<sub>4</sub> содержит две формульные единицы и при-

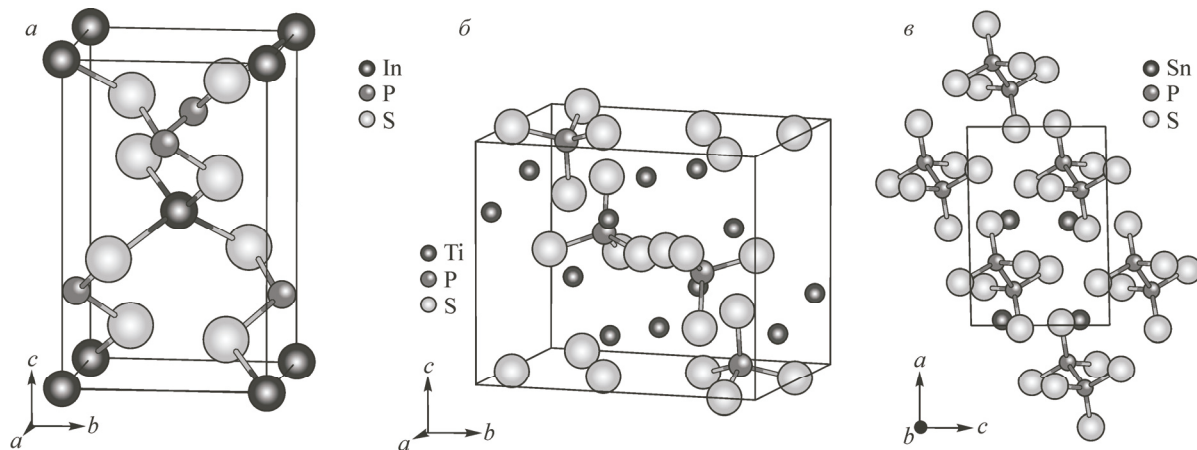


Рис. 1. Элементарная ячейка InPS<sub>4</sub> (а), кристаллические структуры Tl<sub>3</sub>PS<sub>4</sub> (б) и Sn<sub>2</sub>P<sub>2</sub>S<sub>6</sub> (в)

ведена на рис. 1, а. Как видно из рис. 1, а, у атома серы только два ближайших соседа — атом фосфора и атом индия, в то время как атомы фосфора и индия окружены четырьмя атомами серы в искаженных тетраэдрах.

Расчет электронно-энергетической структуры Tl<sub>3</sub>PS<sub>4</sub> проводили для следующих кристаллографических данных: пространственная группа *R*<sub>3</sub>*m*, орторомбическая элементарная ячейка с параметрами  $a = 8,7$ ,  $b = 10,72$ ,  $c = 9,0 \text{ \AA}$  [3]. На рис. 1, б кристаллическая структура Tl<sub>3</sub>PS<sub>4</sub> приведена в разрезе перпендикулярно оси  $b$  с выделенными основными элементами этой структуры — искаженными тетраэдрами [PS<sub>4</sub>].

Соединение Sn<sub>2</sub>P<sub>2</sub>S<sub>6</sub> при 110 °C претерпевает переход из парафазы в сегнетоэлектрическую фазу, т.е. ниже этой температуры может находиться в сегнетоэлектрической фазе. Длины связей P—S и P—P становятся несколько меньше, однако в целом кристаллические структуры Sn<sub>2</sub>P<sub>2</sub>S<sub>6</sub> в парафазе и сегнетофазе весьма близки. Параэлектрическая фаза Sn<sub>2</sub>P<sub>2</sub>S<sub>6</sub> принадлежит пространственной группе *P*2<sub>1</sub>/n (*C*<sub>2h</sub><sup>5</sup>) и имеет следующие параметры моноклинной элементарной ячейки:  $a = 9,362$ ,  $b = 7,493$ ,  $c = 6,550 \text{ \AA}$ ,  $\beta = 91,17^\circ$  [4]. Сегнетоэлектрическая фаза Sn<sub>2</sub>P<sub>2</sub>S<sub>6</sub> принадлежит пространственной группе *P*n (*C*<sub>5</sub><sup>2d</sup>), параметры моноклинной элементарной ячейки:  $a = 9,378$ ,  $b = 7,488$ ,  $c = 6,513 \text{ \AA}$ ,  $\beta = 91,15^\circ$  [5].

На рис. 1, в представлена кристаллическая структура в разрезе перпендикулярно оси  $b$  для сегнетофазы Sn<sub>2</sub>P<sub>2</sub>S<sub>6</sub>. Выделенный прямоугольник показывает элементарную ячейку в этом соединении. Видно, что основу кристаллической структуры в сегнетофазе Sn<sub>2</sub>P<sub>2</sub>S<sub>6</sub> составляют молекулы [P<sub>2</sub>S<sub>6</sub>].

#### ЭКСПЕРИМЕНТАЛЬНАЯ ЧАСТЬ

Рентгеновские спектры эмиссии и поглощения серы и фосфора во всех исследованных соединениях получены А.А. Лаврентьевым на спектрографе ДРС-2 с фокусировкой по Иоганну и с разрешением около 0,2 эВ. Реперными линиями при получении *K*-спектров серы служили BiM<sub>α1</sub>- и BiM<sub>β</sub>-линии в первом порядке отражения с энергиями 2422,5 и 2525,6 эВ соответственно [6]. В качестве катода использовали оксидированную платиновую спираль, расположенную внутри фокусирующего цилиндрического колпачка, а тормозное излучение было получено от медного анода. Время экспозиции составляло для *K*-спектров серы и фосфора около 8 и 16 ч соответственно. При исследовании *K*-спектров Р в качестве реперных линий использовали AsK<sub>α1</sub>-линию в пятом порядке отражения ( $E = 2108,7 \text{ эВ}$  [6]) и MnK<sub>β</sub>-линию в третьем порядке отражения ( $E = 2163,5 \text{ эВ}$  [6]). Рентгеновские спектрограммы фотометрировались по пяти дорожкам. Каждый спектр является усреднением трех пленок, построенным по 250 эквидистантным точкам. Первичные L<sub>2,3</sub>-полосы S и P сняты на спектрометре PCM-500 с разрешением около 0,4 эВ. Спектры *K*- и *L*-серий S и P совмещали в единой энергетической шкале по энергии

$K_{\alpha 1}$ -линии S и P соответственно. Для совмещения рентгеновских спектров S и P на рентгеноэлектронном спектрометре были определены энергии внутренних  $2p$ -уровней S и P в исследованных соединениях. Рентгеновские K-спектры S и P исправляли также на ширину внутреннего K-уровня и аппаратурное искажение, чтобы затем по пересечению прямой, аппроксимирующей коротковолновый спад исправленной SK-полосы, с осью абсцисс (энергий) можно было определить вершину валентной полосы  $E_v$ , выбранную за нуль шкалы энергий. Кроме того, в настоящей работе использовали взятые из литературы рентгеноэлектронные спектры (XPS) соединения  $\text{InPS}_4$  [7] и соединения  $\text{Sn}_2\text{P}_2\text{S}_6$  в парафазе [8] и сегнетоэлектрической фазе [8].

### МЕТОД РАСЧЕТА

Расчеты электронно-энергетической структуры (ЭЭС) исследованных соединений проведены в рамках теории функционала плотности (DFT) с применением модифицированного метода присоединенных плоских волн (L)APW+lo, реализованного в программном пакете WIEN2k [9]. В расчетах используется полный потенциал, не имеющий какой-либо предопределенной формы, как, например, *muffin-tin* потенциал. Для расчета обменно-корреляционного потенциала использовали как приближение обобщенного градиента (GGA) в параметризации, предложенной авторами [10] (PBE), так и модифицированный потенциал Беке—Джонсона (mBJ) [11]. В дополнение к вышеуказанным обменно-корреляционным потенциалам в расчетах ЭЭС учитывалось сильное кулоновское взаимодействие  $d$ -электронов на одном узле в приближении GGA+U [12, 13]. Таким образом, в окончательном варианте использовались модели обменно-корреляционного потенциала PBE+U и MBJ+U [14]. При построении присоединенной плоской волны использовали разложение по  $l$  внутри атомной сферы до  $l_{\max} = 10$ . Ряд разложения по плоским волнам обрывался на значениях волнового вектора, определяемых согласно соотношению  $R_{\min}^{MT} k_{\max} = 7$ , где  $R_{\min}$  — минимальный радиус атомной сферы. Зарядовую плотность разлагали в ряд Фурье вплоть до величины  $G_{\max} = 12 \text{ (a.u.)}^{-1}$ . Плотности электронных состояний получали интегрированием по 1000  $\mathbf{k}$ -точек в зоне Бриллюэна (BZ) методом тетраэдров [15]. Процедуру самосогласования проводили до тех пор, пока изменение интегрального заряда  $q = \int |\rho_n - \rho_{n-1}| dr$ , где  $\rho_{n-1}(r)$  и  $\rho_n(r)$  — электронные плотности, полученные на итерациях  $n-1$  и  $n$  соответственно, не становилось меньше величины  $q \leq 0,0001$ .

### РЕЗУЛЬТАТЫ И ИХ ОБСУЖДЕНИЕ

Известно, что приближение полулокальной плотности — обобщенного градиента (GGA) в форме PBE [10], так же как и приближение локальной плотности (LDA), используемое при вычислении обменно-корреляционного потенциала, часто приводит к сильно заниженным значениям ширины запрещенной полосы  $E_g$  и к уменьшению энергии связи валентных  $d$ - и  $f$ -полос. В настоящей работе для решения этих проблем мы использовали одновременно следующие обменно-корреляционные потенциалы: модифицированный потенциал Беке—Джонсона [11], давший для исследованных соединений значения  $E_g$ , близкие к экспериментальным, и GGA+U [12, 13], позволяющий учесть сильные корреляции  $d$ -электронов In для  $\text{InPS}_4$ .

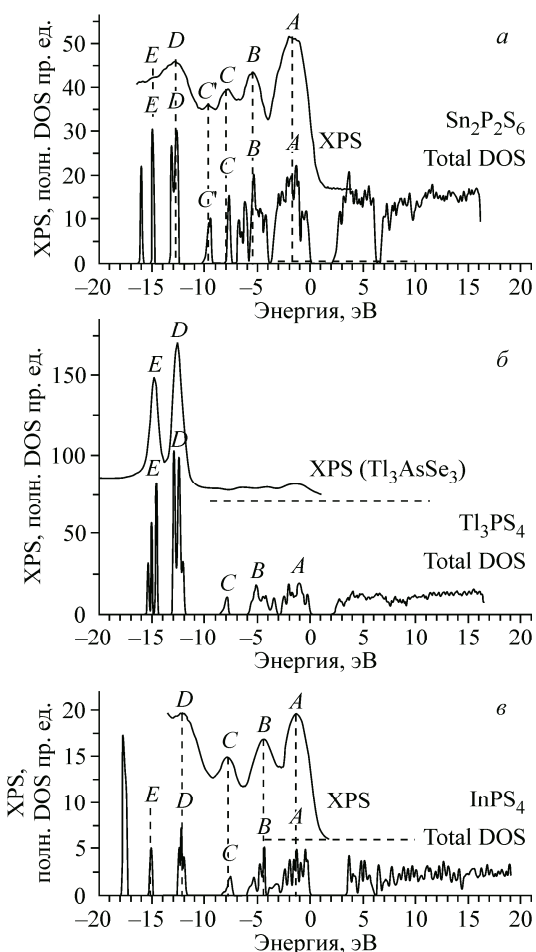
Результаты расчетов представлены на рис. 2—4. Влияние различных обменно-корреляционных потенциалов на рассчитанные значения ширины запрещенной полосы  $E_g$  на примере  $\text{InPS}_4$ ,  $\text{Ti}_3\text{PS}_4$  и  $\text{Sn}_2\text{P}_2\text{S}_6$  демонстрирует таблица. Видно, что использование модифицированного потенциала Беке—Джонсона дает значение ширины запрещенной полосы, близкое к экспериментальному, а потенциал PBE+U оказывает несущественное влияние на это значение.

На рис. 2 приведены полные плотности электронных состояний  $\text{InPS}_4$ ,  $\text{Ti}_3\text{PS}_4$  и  $\text{Sn}_2\text{P}_2\text{S}_6$  (сегнетофазы) в сравнении с экспериментальными рентгеноэлектронными спектрами, отражающими распределение полной плотности электронных состояний [7], взятыми из литературы. Основные элементы структуры на кривой XPS, пики A, B, C для  $\text{InPS}_4$  и  $\text{Sn}_2\text{P}_2\text{S}_6$ , пик D для  $\text{InPS}_4$ ,  $\text{Ti}_3\text{AsSe}_3$  и  $\text{Sn}_2\text{P}_2\text{S}_6$  и пик E для  $\text{Ti}_3\text{AsSe}_3$  и  $\text{Sn}_2\text{P}_2\text{S}_6$  хорошо воспроизведены в рассчитанных полных плотностях электронных состояний, что подтверждает достоверность проведенных

Рис. 2. Рассчитанные полные плотности электронных состояний вместе с экспериментальными рентгеноэлектронными спектрами (XPS).  
Нуль шкалы энергий соответствует вершине валентной полосы

квантово-механических расчетов. Мы не нашли в литературе рентгеноэлектронный спектр  $\text{Ti}_3\text{PS}_4$ , поэтому приводим XPS  $\text{Ti}_3\text{AsSe}_3$ , который показывает положение  $d$ -состояний Ti относительно вершины валентной полосы, практически не меняющееся при переходе к  $\text{Ti}_3\text{PS}_4$ . Правильное энергетическое положение  $4d$ -состояний In в  $\text{InPS}_4$  (~17,5 эВ от  $E_v$ ) получается при учете сильного кулоновского взаимодействия  $d$ -электронов на одном узле через Хаббардовский параметр  $U = 0,5 \text{ Ry}$  для In  $4d$ -электронов. Для интерпретации пиков A, B, C, D на XPS (см. рис. 2), помимо расчетов, мы привлекаем рентгеновские спектры фосфора (рис. 3) и серы (рис. 4). В целом K-полосы фосфора (PK-полоса на см. рис. 3) и серы (SK-полоса на см. рис. 4) отражают распределение по энергии парциальных  $p$ -состояний фосфора и серы соответственно [17], а их основные максимумы B для фосфора и A для серы определяют энергетическое положение основной части этих состояний в валентной полосе. Остальные элементы тонкой структуры K-полос определяются примесиванием парциальных состояний других атомов соединения.  $L_{2,3}$ -полосы отражают распределение парциальных  $s$ -состояний фосфора и серы в валентной полосе, которые главным образом и приводят к образованию максимумов E и D соответственно на рис. 3 и 4.

Экспериментальные рентгеновские спектры фосфора и серы, рентгеноэлектронные спектры (XPS) и рассчитанные полные и парциальные плотности электронных состояний показывают (см. рис. 2—4), что вершина валентной полосы во всех соединениях  $\text{InPS}_4$ ,  $\text{Sn}_2\text{P}_2\text{S}_6$  и  $\text{Ti}_3\text{PS}_4$  образована  $p$ -состояниями серы (максимум A на экспериментальных и расчетных кривых), глубже примерно на 3,5 эВ основной вклад в валентную полосу дают  $p$ -состояния фосфора (максимум B на XPS, PK-полосе и расчетной плотности  $p$ -состояния P), а нижняя часть



Рассчитанные и экспериментальное значение ширины запрещенных полос  $E_g$   
в  $\text{InPS}_4$ ,  $\text{Ti}_3\text{PS}_4$  и  $\text{Sn}_2\text{P}_2\text{S}_6$

Соединение	$E_g$ , эВ	Обменно-корреляционный потенциал				
		PBE	PBE+U	MBJ	MBJ+U	MBJ+U+SO
$\text{InPS}_4$	Расчет	2,514	2,515	3,454	3,429	
	Эксперимент			3,44 [16]		
$\text{Ti}_3\text{PS}_4$	Расчет	1,754	1,743	2,322		2,268
	Эксперимент			2,3 [1]		
$\text{Sn}_2\text{P}_2\text{S}_6$ парафазы	Расчет	1,631		2,075		
	Эксперимент			2,3 [18]		
$\text{Sn}_2\text{P}_2\text{S}_6$ сегнетофазы	Расчет	1,779		2,215		
	Эксперимент			2,3 [18]		

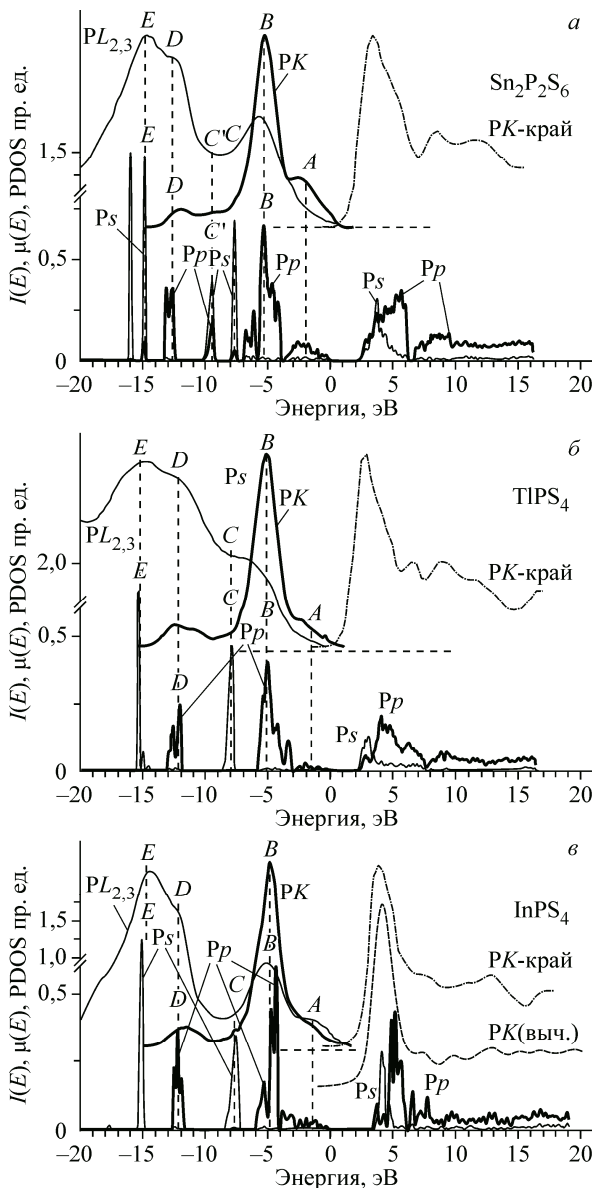


Рис. 3. Фосфор: рассчитанные парциальные плотности электронных состояний,  $K$ -край поглощения и экспериментальные рентгеновские  $K$ - и  $L_{2,3}$ -спектры

валентной полосы образована  $s$ -составляющаяю S (максимум  $D$  на экспериментальных и теоретических кривых  $\text{InPS}_4$ ,  $\text{Tl}_3\text{PS}_4$  и  $\text{Sn}_2\text{P}_2\text{S}_6$ ) и  $s$ -составляющими Р (максимум  $E$  на  $PL_{2,3}$ -полосе и рассчитанной плотности  $s$ -составляющей Р для  $\text{InPS}_4$ ,  $\text{Tl}_3\text{PS}_4$  и  $\text{Sn}_2\text{P}_2\text{S}_6$ ), формирующими дно валентной полосы соединения.

Свободные  $s$ -составляющие In дают основной вклад в формирование дна валентной полосы соединения  $\text{InPS}_4$ . Составляющие Inp располагаются примерно до 5 эВ от вершины валентной полосы и дают вклад в области дна валентной полосы.

Занятые  $s$ -составляющие Sn образуют зоны в области вершины валентной полосы общей шириной примерно 8 эВ. Составляющие Snp формируют дно валентной полосы.

В соединении  $\text{Tl}_3\text{PS}_4$  дно валентной полосы образовано  $p$ -составляющими Tl,  $p$ -составляющими серы и  $s$ - и  $p$ -составляющими Р. Составляющие Tls формируют зону в области примерно 5 эВ ниже вершины валентной полосы.

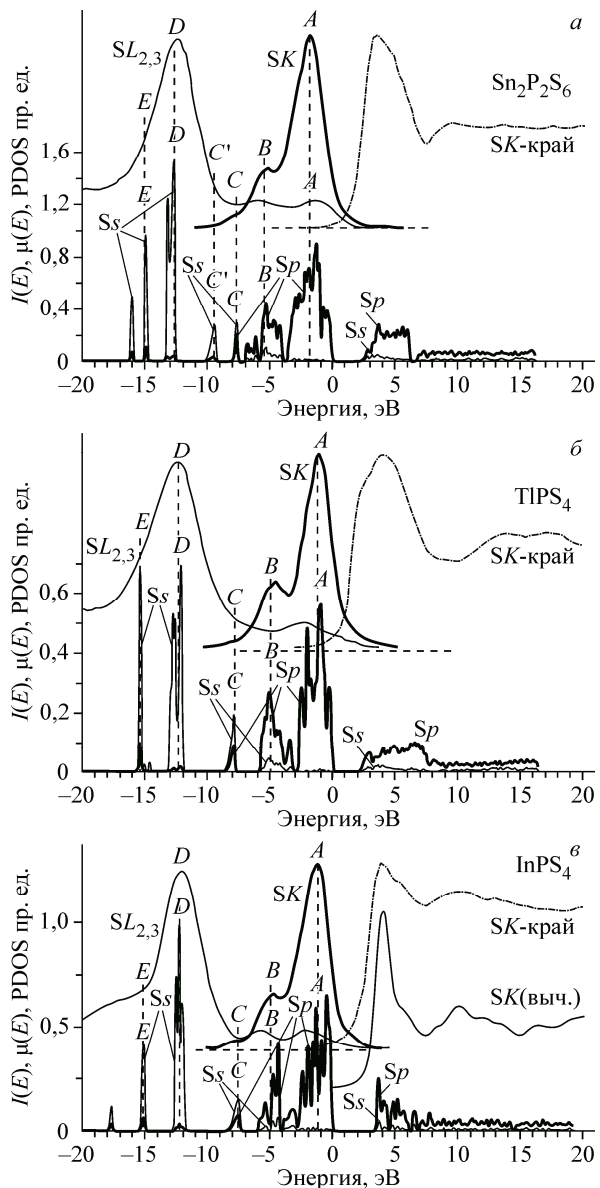


Рис. 4. Сера: рассчитанные парциальные плотности электронных состояний,  $K$ -край поглощения и экспериментальные рентгеновские  $K$ - и  $L_{2,3}$ -спектры

## ВЫВОДЫ

Проведенные *ab initio* расчеты с обменно-корреляционными потенциалами, построенным в приближении mBJ и GGA+U, позволяют объяснить все особенности экспериментальных рентгеновских и рентгеноэлектронных спектров InPS<sub>4</sub>, Sn<sub>2</sub>P<sub>2</sub>S<sub>6</sub> и Tl<sub>3</sub>PS<sub>4</sub> и подтверждают, что вершина валентной полосы во всех исследованных соединениях преимущественно формируется *p*-состояниями S, а *p*-состояния P дают основной вклад в области, лежащей на 3,5 эВ ниже  $E_v$ . В верхней части валентной полосы встречается также примешивание *p*-состояний P, причем это примешивание больше в случае Sn<sub>2</sub>P<sub>2</sub>S<sub>6</sub>, что обусловлено наличием связей P—P в нем помимо связей P—S, характерных для InPS<sub>4</sub> и Tl<sub>3</sub>PS<sub>4</sub>.

## СПИСОК ЛИТЕРАТУРЫ

1. Сложные халькогениды и халькогалогениды / Ред. Д.В. Чепура. – Львов: Вища школа, 1983.
2. Diehl R., Carpentier C.D. // Acta Crystallogr. – 1978. – **34**, N 4. – P. 1097 – 1105.
3. Andrae H., Blachnik R. // J. Alloys Compounds. – 1992. – **189**. – P. 209 – 215.
4. Scott B., Pressprich M., Williet R. // J. Solid State Chem. – 1992. – **96**. – P. 294 – 300.
5. Dittmar G., Schafer H. // Z. Naturforschung. – 1974. – **29b**, N 4. – S. 312 – 317.
6. Рентгеноспектральный справочник / Ред. Т.Г. Корышева. – М.: Наука, 1982.
7. Hollinger G., Estrada C., Durand J., Gendry M. // J. Microsc. Spectr. Electron. – 1988. – **13**. – P. 31.
8. Glukhov K., Fedyo K., Banys J., Vysochanskii Yu. // Int. J. Mol. Sci. – 2012. – **13**. – P. 14356 – 14384.
9. Blaha P., Schwarz K., Madsen G.K.H., Kvasnicka D., Luitz J. WIEN2k, an augmented plane wave + local orbitals program for calculating crystal properties. – Austria, Techn. Universität: Wien, 2001.
10. Perdew J.P., Burke S., Ernzerhof M. // Phys. Rev. Lett. – 1996. – **77**. – P. 3865 – 3868.
11. Tran F., Blaha P. // Phys. Rev. Lett. – 2009. – **102**. – P. 226401.
12. Anisimov V.I., Solovyev I.V., Korotin M.A., Czyzyk M.T., Sawatzky G.A. // Phys. Rev. B. – 1993. – **48**. – P. 16929 – 16934.
13. Novak P., Boucher F., Gressier P., Blaha P., Schwarz K. // Phys. Rev. B. – 2001. – **63**. – P. 235114.
14. Jiang H. // J. Chem. Phys. – 2013. – **138**. – P. 134115.
15. Blöchl P.E., Jepsen O., Andersen O.K. // Phys. Rev. B. – 1994. – **49**. – P. 16223 – 16233.
16. Переши Е.Ю., Цигика В.В., Стасюк Н.П., Галаговец И.В. // Изв. вузов. Химия и хим. технол. – 1978. – **21**, № 7. – С. 1070 – 1071.
17. Рентгеновские спектры и химическая связь / Ред. В.В. Немошканенко. – Киев: Наукова думка, 1981.
18. Гурзан М.И., Бутурлакин А.П., Герасименко В.С. и др. // Физика твердого тела. – 1977. – **19**, № 10. – С. 3068 – 3070.